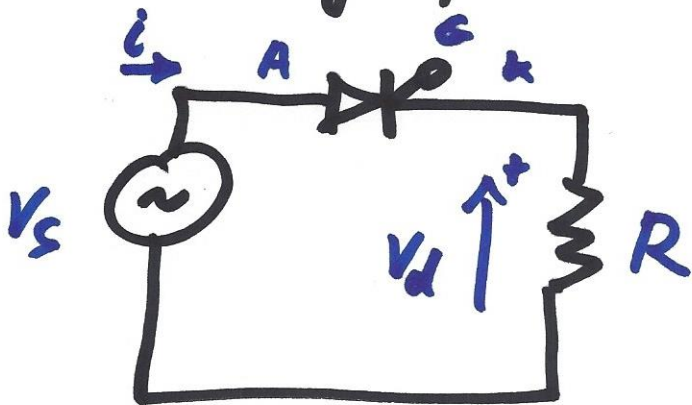


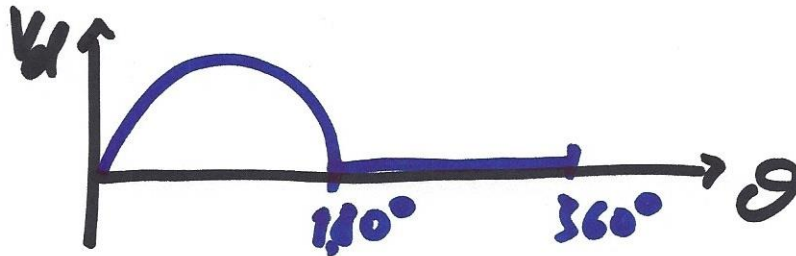
Μετατροπιάς L_i 'ς παλμού
 (ή ελεγχόμενος ουρθ. βύθου κύματος)



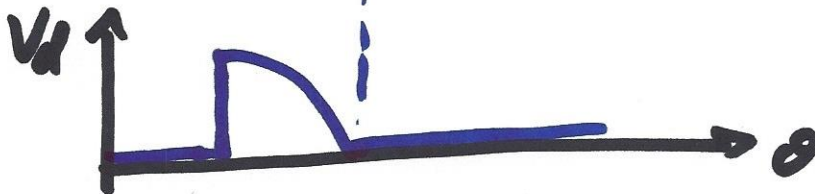
- Μερίτη αρχικά με υψηλό φορτίο
- Παλμός έναυσης κατά τις θετικές ημικυκλίδες της V_s
- "Ελεγχόμενος": Ελεγχόμενα μέσω τιμής τείσης εξόδου
- Έλεγχος μέσω μεταβολής της γωνίας την οποία δίνουμε τον παλμό έναυσης
 \Rightarrow Γωνία έναυσης (α) $\in [0, \pi]$

α (deg)

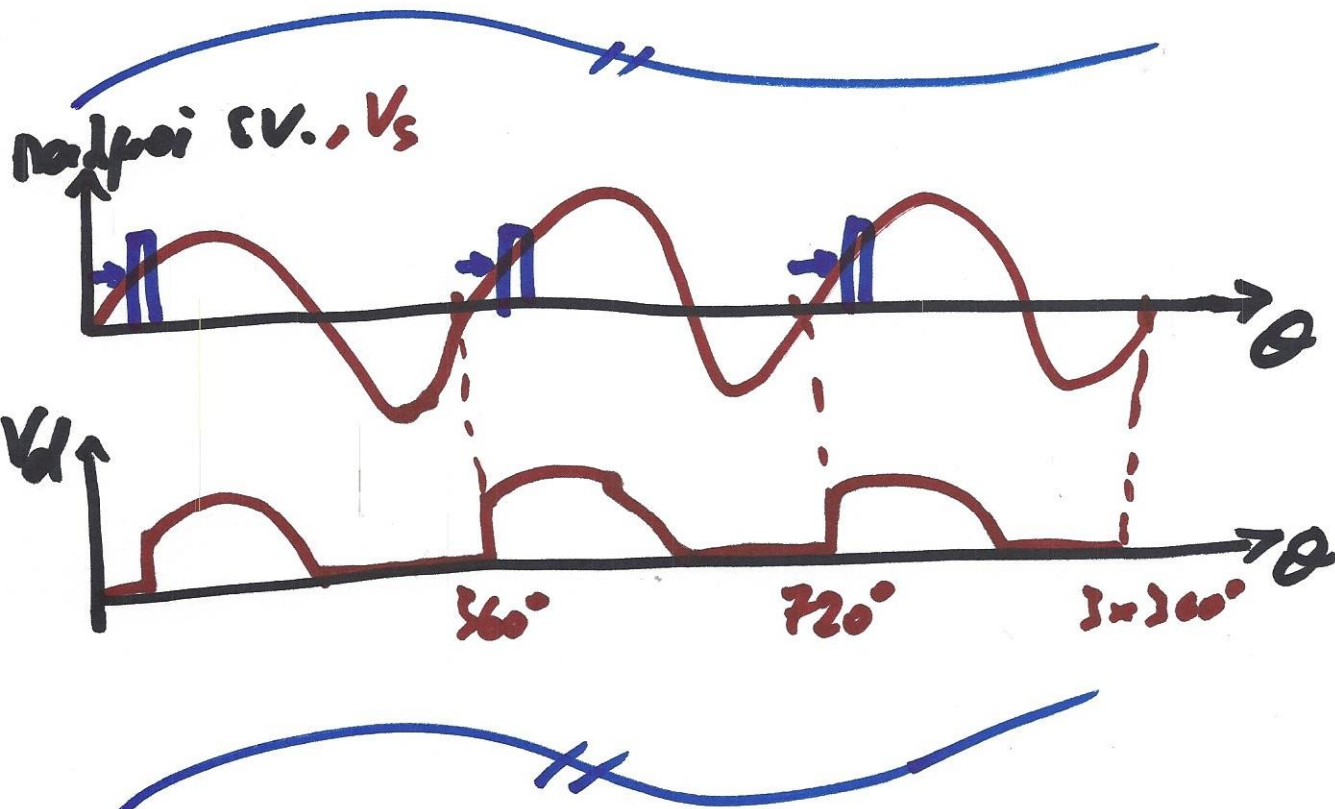
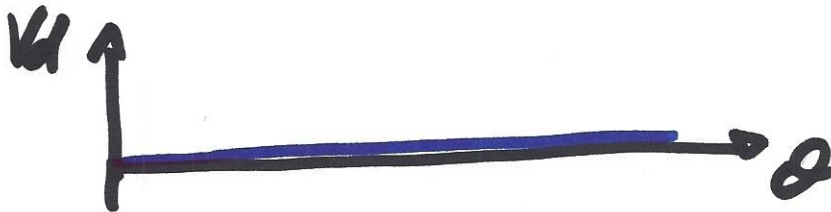
0° :



90° :



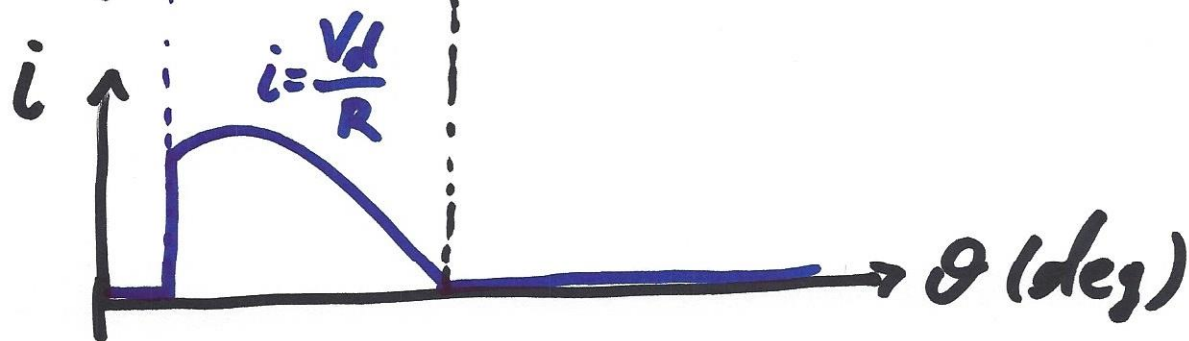
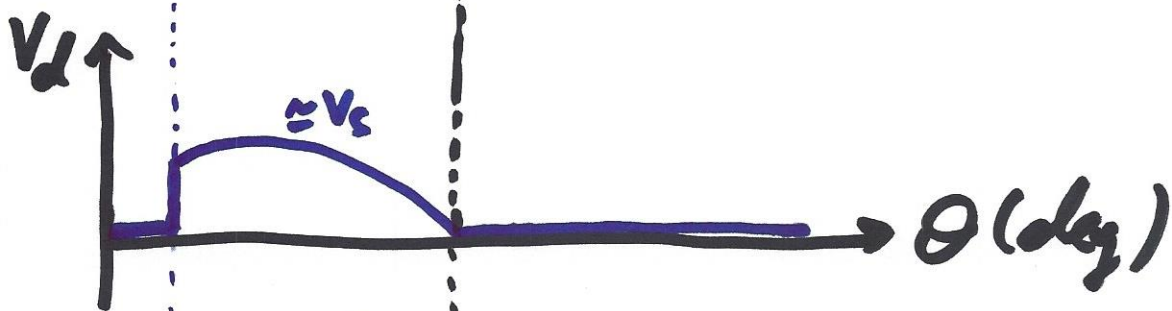
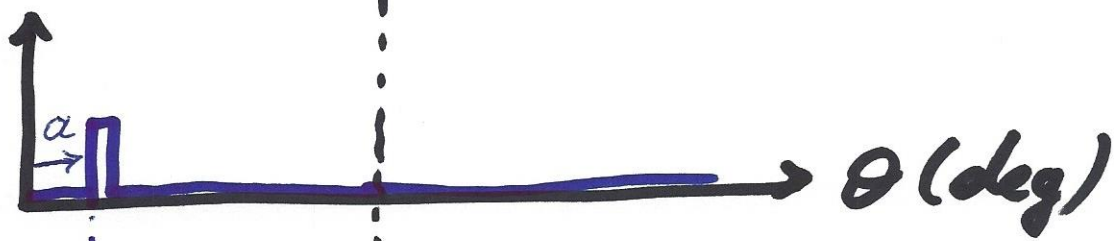
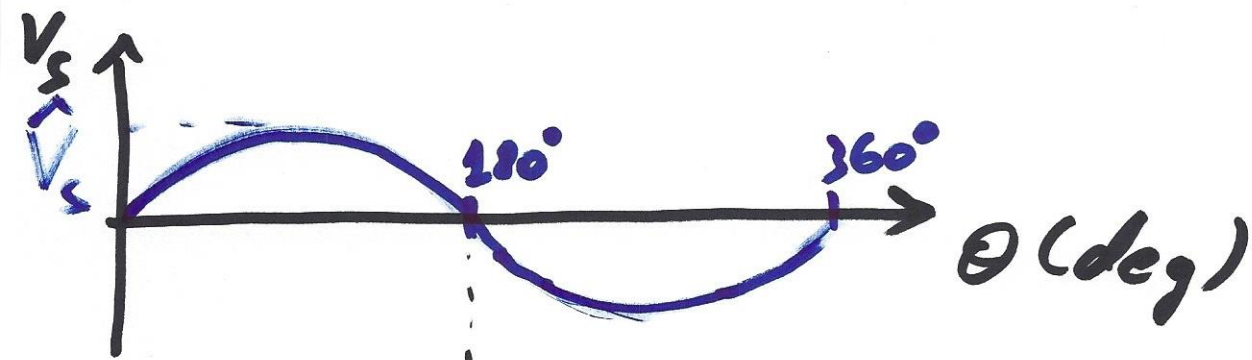
180° :



Ευδιάκριση η μ.τ. rms V_d

$$\begin{aligned} \overline{V_d} &= \frac{1}{2\pi} \int_0^{2\pi} v_d(\theta) d\theta \Rightarrow \overline{V_d} = \frac{1}{2\pi} \int_{\alpha}^{\pi} v_d(\theta) d\theta \\ &= \frac{1}{2\pi} \int_{\alpha}^{\pi} \hat{V}_s \sin\theta d\theta = \dots = \frac{V_{s,rms}}{\pi} (\cos\alpha + 1) \end{aligned}$$

Ο-φάση γορτίο



Μ.Τ. v_d με RL φορτίο

$$\bar{V}_d = \frac{1}{2n} \int_0^{2n} v_d(\theta) d\theta$$

όπου $v_d(\theta) = 0$ για

- $\theta \in [0, \alpha)$ και

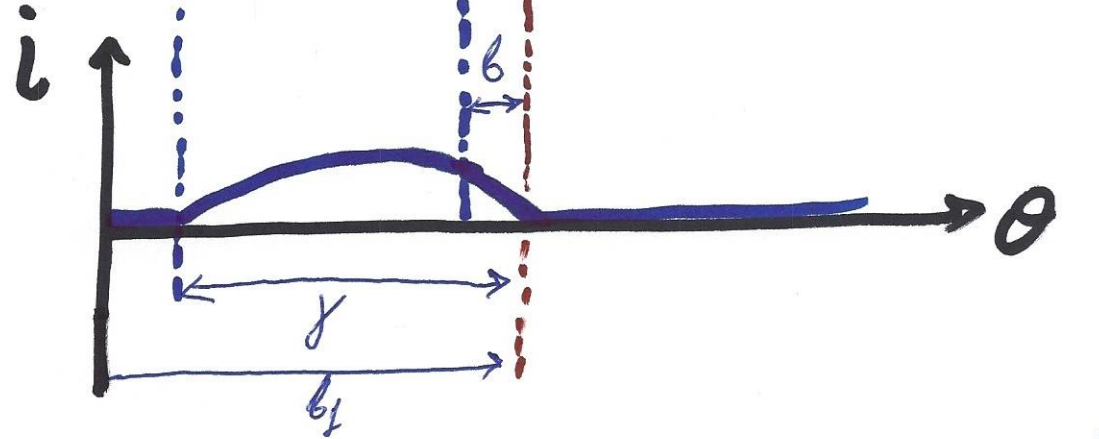
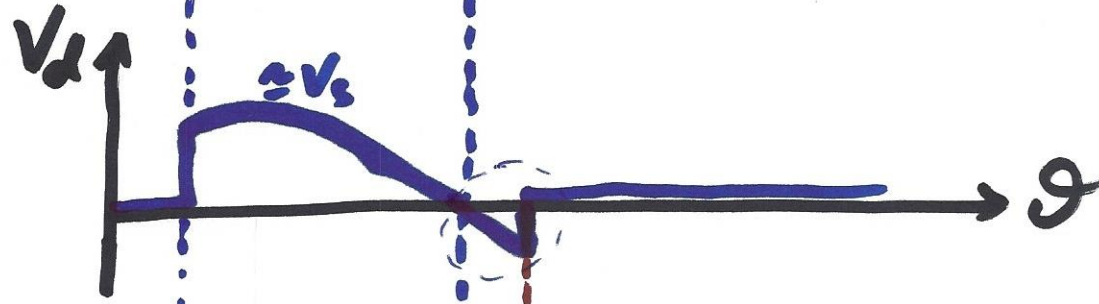
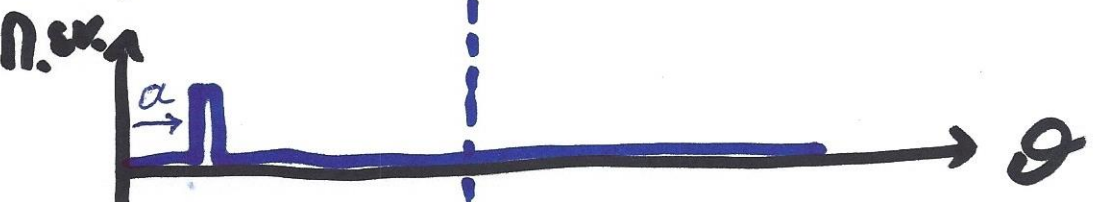
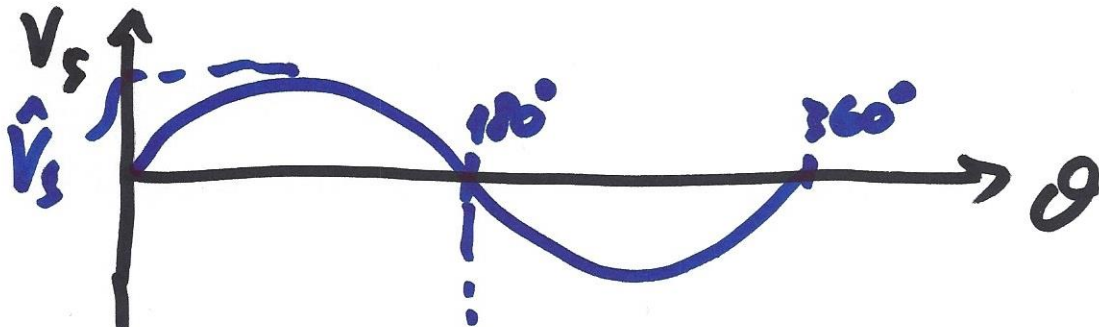
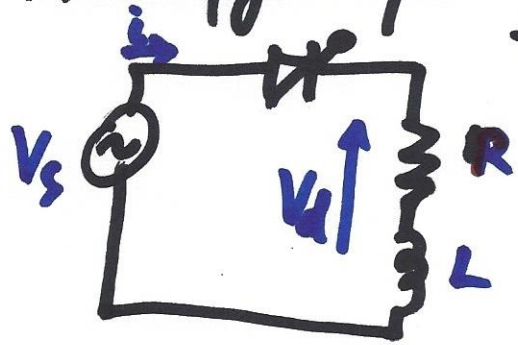
- $\theta \in (b_1, 180^\circ)$

$$\Rightarrow \bar{V}_d = \frac{1}{2n} \int_{\alpha}^{b_1} \hat{V}_s \sin \theta d\theta$$

$$\Rightarrow \bar{V}_{d,RL} = \frac{V_{s,rms}}{\sqrt{2} n} (\cos \alpha + \cos \beta) \quad (< V_{d,R})$$

Η γωνία β αυξάνεται όταν αυξάνεται το L .

Λειτουργία με RL φορτίο.

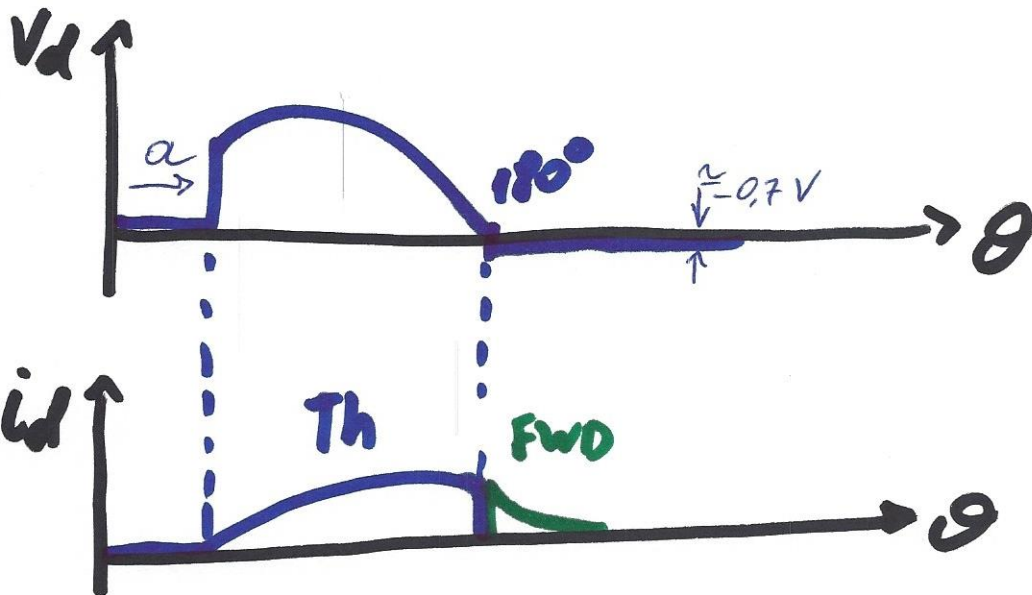
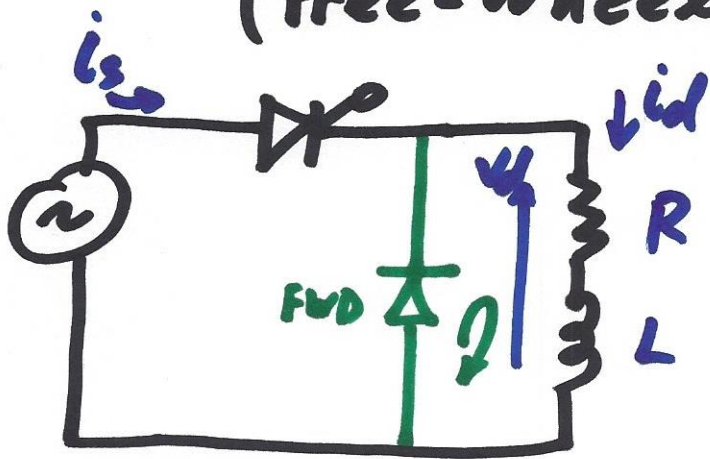


γ : Γωνία αγωγής → Για πόσο διάστημα σε ποίους άξες το Thyristor.

b : Γωνία σβέσης → Για πόσο διάστημα πέρα της 180° συνεχίζει να άξες

$$b_1 = 180^\circ + b = \alpha + \gamma$$

Σύνδεση διαόδου ελεύθερης διόδευσης (Free-wheeling Diode - FWD)



- Η FWD πολώνεται ορθά και γέρνει το ρεύμα του RL φορτίου μετά τις 180°
- Η τάση εισόδου V_d (και η Μ.Τ. της) παίρνουν περίπου τη μισή για κλειστό φορτίο
- Ανοξείγεται, η ηπίωση της Μ.Τ. λόγω του L .

$$\Rightarrow \bar{V}_{d,RL,FWD} \approx \bar{V}_{d,R} = \frac{V_{s,RMS}}{\sqrt{2}n} (\cos\alpha + 1)$$